

$^{160}\text{Gd}({}^{37}\text{Cl},\text{xn}\gamma)$     **2001Li13**

Type	Author	History		Literature Cutoff Date
Full Evaluation	N. Nica	Citation		
		NDS 176, 1 (2021)		1-May-2021

Deep-inelastic reaction.  $E({}^{37}\text{Cl})=234$  MeV. Isotopically enriched (98.2%  $^{160}\text{Gd}$ ) target, 12 mg/cm<sup>2</sup> thick, backed with 40 mg/cm<sup>2</sup>  $^{208}\text{Pb}$ , which stopped the recoiling products. Measured  $E\gamma$ ,  $\gamma\gamma\gamma$ ,  $\gamma\gamma$ . Report only  $E\gamma$  and level scheme consisting of two proposed bands.

2001Li13 propose the negative-parity band as a positive-parity band, the lowest reported level in which they assign as ( $10^+$ ). However, 2002Ju08, from  $^{158}\text{Gd}({}^7\text{Li},\text{p4n}\gamma)$ , have shown that this is incorrect and propose the  $J^\pi$  values and configuration assignment given here.

 $^{160}\text{Dy}$  Levels

$E(\text{level})^\ddagger$	$J^\pi{}^\ddagger$	$E(\text{level})^\ddagger$	$J^\pi{}^\ddagger$	$E(\text{level})^\ddagger$	$J^\pi{}^\ddagger$	$E(\text{level})^\ddagger$	$J^\pi{}^\ddagger$
0 <sup>#</sup>	0 <sup>+</sup>	1429 <sup>#</sup>	10 <sup>+</sup>	3093 <sup>#</sup>	16 <sup>+</sup>	4350 <sup>@</sup>	19 <sup>-</sup>
87 <sup>#</sup>	2 <sup>+</sup>	1952 <sup>#</sup>	12 <sup>+</sup>	3195 <sup>@</sup>	15 <sup>-</sup>	4940 <sup>#</sup>	22 <sup>+</sup>
284 <sup>#</sup>	4 <sup>+</sup>	2265 <sup>@</sup>	11 <sup>-</sup>	3674 <sup>#</sup>	18 <sup>+</sup>	5652 <sup>#</sup>	24 <sup>+</sup>
581 <sup>#</sup>	6 <sup>+</sup>	2516 <sup>#</sup>	14 <sup>+</sup>	3747 <sup>@</sup>	17 <sup>-</sup>	6419 <sup>#</sup>	26 <sup>+</sup>
967 <sup>#</sup>	8 <sup>+</sup>	2698 <sup>@</sup>	13 <sup>-</sup>	4283 <sup>#</sup>	20 <sup>+</sup>	7237 <sup>#</sup>	28 <sup>+</sup>

<sup>†</sup> Adopted by 2001Li13 based on band assignments.

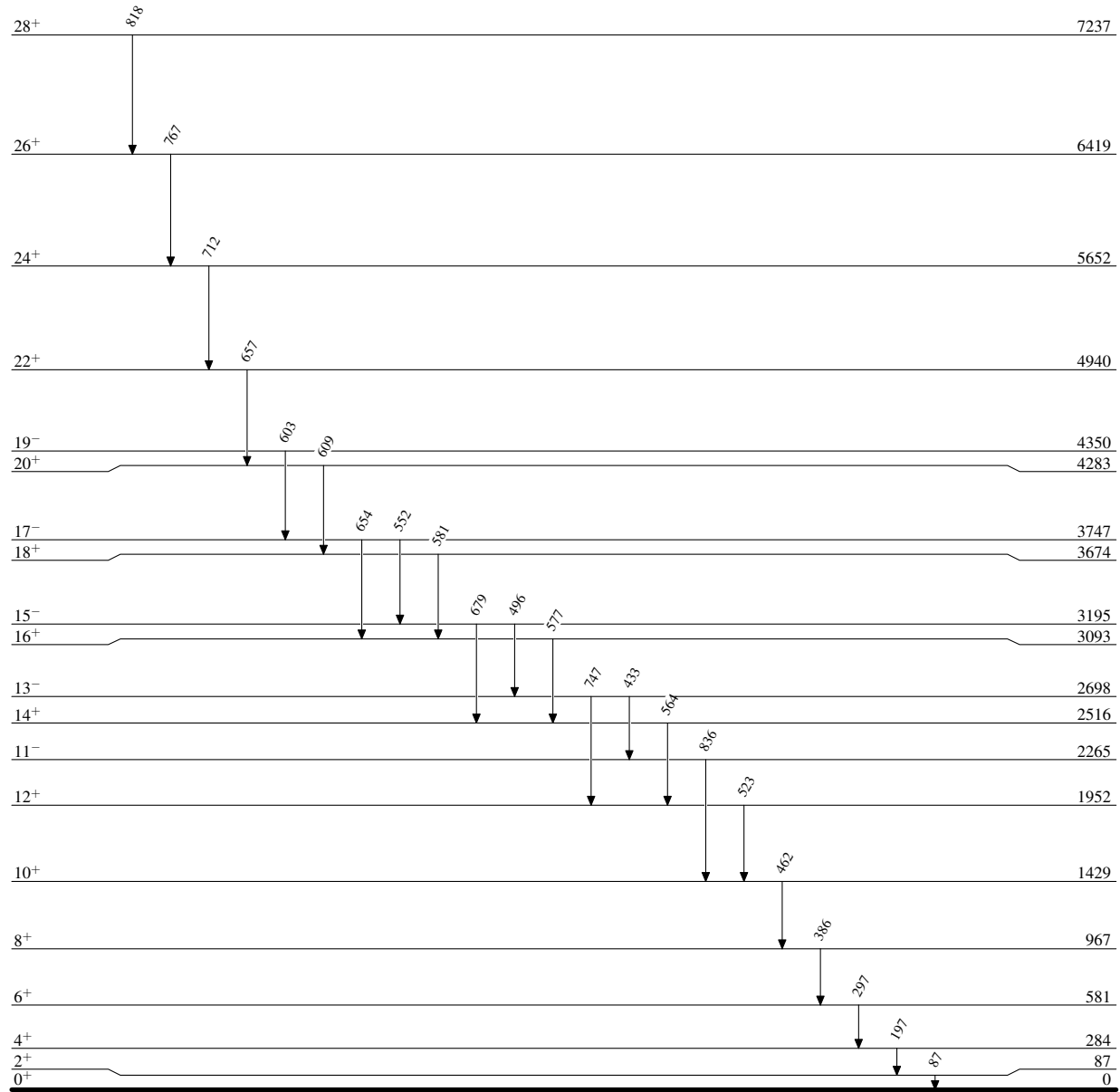
<sup>‡</sup> Computed from the listed  $E\gamma$  values.

<sup>#</sup> Band(A): Yrast band. At the lower spins, this is the g.s. band.

<sup>@</sup> Band(B): portion of the  $K^\pi=2^-$  octupole band.

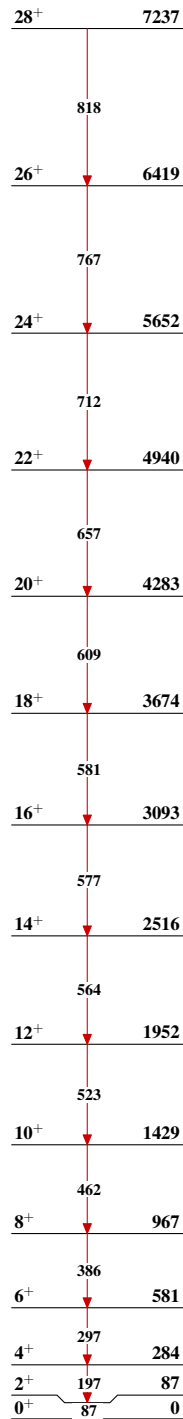
 $\gamma(^{160}\text{Dy})$ 

$E_\gamma$	$E_i(\text{level})$	$J_i^\pi$	$E_f$	$J_f^\pi$	$E_\gamma$	$E_i(\text{level})$	$J_i^\pi$	$E_f$	$J_f^\pi$	$E_\gamma$	$E_i(\text{level})$	$J_i^\pi$	$E_f$	$J_f^\pi$
87	87	2 <sup>+</sup>	0	0 <sup>+</sup>	552	3747	17 <sup>-</sup>	3195	15 <sup>-</sup>	679	3195	15 <sup>-</sup>	2516	14 <sup>+</sup>
197	284	4 <sup>+</sup>	87	2 <sup>+</sup>	564	2516	14 <sup>+</sup>	1952	12 <sup>+</sup>	712	5652	24 <sup>+</sup>	4940	22 <sup>+</sup>
297	581	6 <sup>+</sup>	284	4 <sup>+</sup>	577	3093	16 <sup>+</sup>	2516	14 <sup>+</sup>	747	2698	13 <sup>-</sup>	1952	12 <sup>+</sup>
386	967	8 <sup>+</sup>	581	6 <sup>+</sup>	581	3674	18 <sup>+</sup>	3093	16 <sup>+</sup>	767	6419	26 <sup>+</sup>	5652	24 <sup>+</sup>
433	2698	13 <sup>-</sup>	2265	11 <sup>-</sup>	603	4350	19 <sup>-</sup>	3747	17 <sup>-</sup>	818	7237	28 <sup>+</sup>	6419	26 <sup>+</sup>
462	1429	10 <sup>+</sup>	967	8 <sup>+</sup>	609	4283	20 <sup>+</sup>	3674	18 <sup>+</sup>	836	2265	11 <sup>-</sup>	1429	10 <sup>+</sup>
496	3195	15 <sup>-</sup>	2698	13 <sup>-</sup>	654	3747	17 <sup>-</sup>	3093	16 <sup>+</sup>					
523	1952	12 <sup>+</sup>	1429	10 <sup>+</sup>	657	4940	22 <sup>+</sup>	4283	20 <sup>+</sup>					

$^{160}\text{Gd}({}^{37}\text{Cl}, \text{xn}\gamma)$  2001Li13Level Scheme

$^{160}\text{Gd}(\text{<sup>37</sup>Cl},\text{xn}\gamma)$     2001Li13

Band(A): Yrast band

Band(B): Portion of the  
 $K^\pi=2^-$  octupole band